

1 - Introduction

- Buts de ce chapitre : Donner une idée générale des approches théoriques qui ont été développées pour décrire quantitativement le mouvement d'un atome dans une onde laser. Introduire les équations de base sous une forme permettant de les appliquer au cas d'un atome ayant plusieurs sous-niveaux dans l'état fondamental.
- Description du mouvement par une force. La plus proche de la description classique. Ne s'applique que si l'atome est bien localisé en position et en vitesse (limite semi-classique). Approche de Gordon et Ashkin [Ref. 1].
Comme toutes les approches quantiques essayant de généraliser des équations classiques, cette approche utilise le point de vue de Heisenberg.
Séparations de la force agissant sur l'atome en une force moyenne et une force de Langevin fluctuante permettant de calculer le coefficient de diffusion de l'impulsion atomique.
- Description du mouvement atomique à partir des équations d'évolution de la matrice densité atomique (Comment évolue l'impulsion moyenne de l'atome ? la variance de cette impulsion ? Peut-on introduire des fonctions de distribution ? ...)
 - Approche qui utilise l'autre point de vue, celui de Schrödinger.
 - Divers niveaux de descriptions suivant qu'on s'intéresse à l'évolution d'une base d'opérateurs atomiques (équations de Bloch-Langevin), à celle de la matrice densité atomique incluant les 2 types de degrés de liberté internes et externes (équations de Bloch optiques généralisées), à celle de la matrice densité interne (équations de Bloch optiques).
 - A la limite semi-classique, et quand il existe 2 échelles de temps bien distinctes permettant de découpler variables externes et variables internes, ces 2 approches sont équivalentes (voir Ref. 2)

2 - Hamiltoniens

- Rgit la dynamique du système global (voir Fig. 1 du cours I)

$$H = H_A + H_V + V_{AL} + V_{AV} \quad (2.1)$$

- Il n'y a pas d'hamiltonien H_L du champ laser quand ce dernier est décrit comme un champ extérieur classique (voir Eqs. 1.2)

Dans les approches de type atome habillé où le champ laser est traité quantiquement, il faut ajouter à (2.1) l'hamiltonien H_L du mode laser

- Hamiltonien atomique : H_A

$$H_A = H_A^{\text{ext}} + H_A^{\text{int}} \quad (2.2)$$

$$H_A^{\text{ext}} = \vec{P}^2 / 2M \quad (2.3)$$

$$H_A^{\text{int}} = \hbar \omega_A P_e \quad (2.4)$$

$$P_e = \sum_m |e_m\rangle \langle e_m| \quad P_g = \sum_\mu |g_\mu\rangle \langle g_\mu| \quad (2.5)$$

P_e et P_g : Projecteurs sur les sous-espaces de dégénérescence de e et g .

- Hamiltonien du champ quantique dans l'état vide : H_V

$$H_V = \sum_j \hbar \omega_j (a_j^\dagger a_j + \frac{1}{2}) \quad (2.6)$$

Somme d'hamiltoniens harmoniques relatifs aux divers modes j

Développement du champ électrique quantique en modes j

$$\vec{E}(\vec{r}) = i \sum_j \underbrace{\epsilon_{\omega_j} a_j \vec{E}_j e^{i k_j \cdot \vec{r}}}_{\vec{E}^+(\vec{r})} + h.c. \quad (2.7)$$

$$\epsilon_{\omega_j} = \sqrt{\frac{\hbar \omega_j}{2 \epsilon_0 L^3}} \quad \begin{array}{l} \text{composante de fréquence positive de } \vec{E} \\ \text{variant en } e^{-i \omega_j t} \text{ dans le point} \\ \text{de vue de Heisenberg} \end{array} \quad (2.8)$$

- Hamiltonien d'interaction atome-laser : V_{AL}

$$V_{AL} = - \vec{d} \cdot \vec{E}_L(\vec{R}, t) \quad (2.9)$$

$$\vec{d} = \vec{d}^+ + \vec{d}^- \quad (2.10.a)$$

$$\vec{d}^+ = P_e \vec{d}^+ P_g \quad \vec{d}^- = P_g \vec{d}^- P_e \quad (2.10.b)$$

Approximation du champ tournant

$$V_{AL} = - \vec{d}^+ \cdot \vec{E}_L^+(\vec{R}) e^{-i \omega_L t} - \vec{d}^- \cdot \vec{E}_L^-(\vec{R}) e^{+i \omega_L t} \quad (2.11)$$

$$\vec{E}_L(\vec{R}, t) = \vec{E}_L^+(\vec{R}) e^{-i \omega_L t} + \vec{E}_L^-(\vec{R}) e^{+i \omega_L t} \quad (2.12)$$

- Hamiltonien d'interaction atome-champ quantique du vide : V_{AV}

$$V_{AV} = - \vec{d} \cdot \vec{E}(\vec{R}) \approx - \vec{d}^+ \cdot \vec{E}^+(\vec{R}) - \vec{d}^- \cdot \vec{E}^-(\vec{R}) \quad (2.13)$$

3. Force radiative à la limite semi-classique

Équations de Heisenberg pour \vec{R} et \vec{P}

$$\dot{\vec{R}} = \frac{1}{i\hbar} [\vec{R}, H] = \frac{1}{i\hbar} [\vec{R}, H_A^{ext}] = \frac{\vec{P}}{m} \quad (2.14.a)$$

$$\dot{\vec{P}} = m \ddot{\vec{R}} = \frac{1}{i\hbar} [\vec{P}, H] = - \frac{\partial H}{\partial \vec{R}} \\ = - \vec{\nabla} V_{AL}(\vec{R}) - \vec{\nabla} V_{AV}(\vec{R}) \quad (2.14.b)$$

Champ du vide et champ source

- Dans V_{AV} figurent $\vec{E}(\vec{R})$ et les opérateurs d'annihilation $a_j(t)$ et de création $a_j^\dagger(t)$ d'un photon du mode j (voir Equ. 2.7)

- L'équation de Heisenberg de $a_j(t)$ est une équation différentielle linéaire avec un terme source atomique, qui s'écrit aisément (voir Ref. 3 Complément Av.)

$$a_j(t) = \underbrace{a_j(0) e^{-i \omega_j t}}_{a_j^{vide}(t)} + a_j^{source}(t) \quad (2.15)$$

1^{er} terme : champ du vide évoluant librement entre 0 et t

2^{er} terme : champ source venant du dipôle atomique

$$\hookrightarrow \vec{E}(\vec{r}, t) = \vec{E}^{vide}(\vec{R}, t) + \vec{E}^{source}(\vec{R}, t) \quad (2.16)$$

- Choix dans V_{AV} de l'ordre normal (tous les a_j à droite, les a_j^\dagger à gauche) conduisant à des calculs plus simples quand on prend des valeurs moyennes dans le vide $\langle 0 | \rangle$ puisque

$$\langle 0 | a_j^\dagger | 0 \rangle = 0 \quad \langle 0 | a_j | 0 \rangle = 0 \quad (2.17)$$

Opérateur force radiative semiclassique

II-3

- On reporte (2.16) dans (2.13) puis dans (2.14.b). Le gradient de $\vec{E}_{\text{source}}(\vec{r}, t)$ du dipôle au point \vec{R} où ce dipôle est situé est nul (c'est une fonction paire de $\vec{r} - \vec{R}$). Seule subsiste donc dans $-\vec{\nabla} V_{AV}(\vec{R})$ la contribution de $\vec{E}_{\text{vide}}(\vec{R})$, de sorte qu'on obtient pour \vec{P} c'est à dire pour l'opérateur force $\vec{F}(\vec{R}, t)$

$$\vec{F}(\vec{R}, t) = -\vec{\nabla} V_{AL}(\vec{R}, t) - : \vec{\nabla} V_{AV}^{\text{vide}}(\vec{R}, t) : \quad (2.18)$$

où le dernier terme représente la contribution de \vec{E}_{vide} dans V_{AV} rangé dans l'ordre normal

- Si le paquet d'ondes atomique est bien localisé en position et en vitesse à $t=0$, on peut remplacer, au voisinage de $t=0$, l'opérateur $\vec{R}(t)$ qui apparaît dans (2.18) par le nombre $\vec{r}_0 + \vec{v}_0 t$

$$\vec{R}(t) \longrightarrow \vec{r}_0 + \vec{v}_0 t \quad (2.19)$$

$$\text{où } \vec{r}_0 = \langle \vec{R}(0) \rangle \quad \vec{v}_0 = \langle \vec{P}(0) \rangle / M \quad (2.20)$$

L'opérateur (2.18) devient alors un opérateur qui n'agit plus que sur les variables des champs et les variables atomiques internes. Ce n'est plus un opérateur vis à vis des variables atomiques externes.

Force moyenne \vec{F}

- On remplace \vec{R} par $\vec{r}_0 + \vec{v}_0 t$ dans (2.18) et on prend la valeur moyenne. Dans le point de vue de Heisenberg, l'état du champ est le même qu'à $t=0$. C'est donc le vide. Le 2^e terme de (2.18) donne alors une valeur moyenne nulle à cause de l'ordre normal et de (2.17). On obtient pour la force moyenne

$$\vec{F}(\vec{r}_0 + \vec{v}_0 t, t) = -\langle \vec{\nabla} V_{AL}(\vec{r}, t) \rangle \Big|_{\vec{r} = \vec{r}_0 + \vec{v}_0 t} \quad (2.21)$$

- En utilisant (2.12), on peut récrire (2.21) sous la forme

$$\boxed{\vec{F}(\vec{r}, t) = + \sum_{i=x,y,z} \left[\langle d_i^+ \rangle \vec{\nabla} E_{Li}^+(\vec{r}) e^{-i\omega_L t} + \langle d_i^- \rangle \vec{\nabla} E_{Li}^-(\vec{r}) e^{+i\omega_L t} \right]} \quad (2.22)$$

$$\text{où } \vec{r} = \vec{r}_0 + \vec{v}_0 t .$$

Force de Langevin $\delta \vec{F}$

- On peut toujours écrire (en posant encore $\vec{r} = \vec{r}_0 + \vec{v}_0 t$)

$$\vec{F}(\vec{r}, t) = \vec{F}(\vec{r}, t) + \delta \vec{F}(\vec{r}, t) \quad (2.23)$$

$$\text{où } \delta \vec{F}(\vec{r}, t) = \vec{F}(\vec{r}, t) - \vec{F}(\vec{r}, t) = \vec{F}(\vec{r}, t) - \langle \vec{F}(\vec{r}, t) \rangle \quad (2.24)$$

est la partie fluctuante de \vec{F}

- Séparons les contributions de V_{AL} et V_{AV} à $\delta \vec{F}$. En utilisant (2.18) (2.21), (2.22), on obtient

$$\begin{aligned} \delta \vec{F}_{\text{laser}}(\vec{r}, t) &= -\vec{\nabla} V_{AL}(\vec{r}, t) + \langle \vec{\nabla} V_{AL}(\vec{r}, t) \rangle \\ &= \sum_{i=x,y,z} \left[\delta d_i^+ \vec{\nabla} E_{Li}^+(\vec{r}) e^{+i\omega_L t} + \delta d_i^- \vec{\nabla} E_{Li}^-(\vec{r}) e^{-i\omega_L t} \right] \end{aligned} \quad (2.25)$$

$$\text{où } \delta d_i^\pm = d_i^\pm - \langle d_i^\pm \rangle \quad (2.26)$$

est la partie fluctuante du dipôle atomique

$$\begin{aligned}\delta \vec{F}_{\text{vide}}(\vec{r}, t) &= - : \vec{\nabla} V_{AV}^{\text{vide}}(\vec{r}, t) : + \underbrace{\langle : \vec{\nabla} V_{AV}^{\text{vide}}(\vec{r}, t) : \rangle}_{= \vec{0}} \\ &= \sum_{i=x,y,z} [d_i^+ \vec{\nabla} E_{\text{vide}i}^+(\vec{r}, t) + \vec{\nabla} E_{\text{vide}i}^-(\vec{r}, t) d_i^-]\end{aligned}\quad (2.27)$$

- Le coefficient de diffusion D de l'impulsion atomique, défini par

$$\frac{d}{dt} \Delta P^2(t) = 2D \quad (2.28)$$

où $\Delta P^2(t) = \langle [\vec{P}(t) - \langle \vec{P}(t) \rangle]^2 \rangle$ est la variance de l'impulsion et relié simplement à la fonction de corrélation de $\delta \vec{F}$ [voir Ref. 1]

$$D = \text{Re} \int_0^\infty dt \langle \delta \vec{F}(t) \cdot \delta \vec{F}(t-t) \rangle \quad (2.29)$$

Répliquons $\delta \vec{F}$ par $\delta \vec{F}_{\text{laser}} + \delta \vec{F}_{\text{vide}}$. On peut montrer que les termes croisés en $\delta \vec{F}_{\text{laser}} \cdot \delta \vec{F}_{\text{vide}}$ ont une contribution nulle dans (2.29). On peut donc écrire

$$D = D_{\text{laser}} + D_{\text{vide}} \quad (2.30)$$

avec

$$D_{\text{laser}} = \text{Re} \int_0^\infty dt \langle \delta \vec{F}_{\text{laser}}(t) \cdot \delta \vec{F}_{\text{laser}}(t-t) \rangle \quad (2.31)$$

$$D_{\text{vide}} = \text{Re} \int_0^\infty dt \langle \delta \vec{F}_{\text{vide}}(t) \cdot \delta \vec{F}_{\text{vide}}(t-t) \rangle \quad (2.32)$$

D_{laser} est associé aux fluctuations des échanges d'impulsions lors des processus d'absorption et d'émission induite de photons laser. D_{vide} est associé aux fluctuations des échanges d'impulsion lors des processus d'émission spontanée.

- Pour obtenir la force moyenne \vec{F} et le coefficient de diffusion D , il faut calculer la valeur moyenne et les fonctions de corrélation du dipôle atomique. Ceci nous amène tout naturellement aux équations du mouvement de la matrice densité atomique
- Voir en appendice un exemple simple de calcul de coefficient de diffusion

4. Équations du mouvement de la matrice densité atomique

a. Équations de Bloch optiques (voir Ref. 3, chapitres IV et V)

Approximations

- On ne quantifie pas les degrés de liberté extérieurs.
- \vec{R} est remplacé par $\vec{r} = \vec{r}_0 + \vec{v}_0 t$.
- $\vec{p}^2/2M$ n'est pas inclus dans H .
- L'effet de l'émission spontanée est décrit par une équation pilote. Approximation justifiée par la vitesse du temps t_c , temps de corrélation des fluctuations du vide (voir cours I).
- Les termes de relaxation par émission spontanée ne sont pas modifiés par la présence du laser. Pendant t_c , le couplage V_{AV} n'a pas le temps de se manifester ($\Omega, t_c \ll 1$).
- ↳ On ajoute indépendamment les vitesses d'évolution de σ dues à $H_A^{\text{int}} + V_{AL}$ et à l'émission spontanée.

$$\frac{d\sigma}{dt} = \underbrace{\frac{1}{i\hbar} [H_A^{\text{int}} + V_{AL}, \sigma]}_{\text{Évolution hamiltonienne}} + \underbrace{\mathcal{T}(\sigma)}_{\text{Relaxation due à l'émission spontanée}} \quad (2.33)$$

Structure de σ

- Transition atomique $J_g \leftrightarrow J_e$: J_g (J_e) moment cinétique de g (e)

$$\sigma = \begin{pmatrix} \sigma_{ee} & \sigma_{eg} \\ \sigma_{ge} & \sigma_{gg} \end{pmatrix} \quad \sigma_{ge} = \sigma_{eg}^+ \quad (2.35)$$

$\sigma_{ee} = P_e \sigma_e$ Matrice carrée $(2J_e + 1) \times (2J_e + 1)$ Contenant des populations et des cohérences Zeeman.
 $\sigma_{gg} = P_g \sigma_g$ " " $(2J_g + 1) \times (2J_g + 1)$
 $\sigma_{eg} = P_e \sigma_g$ Matrice rectangle $(2J_e + 1) \times (2J_g + 1)$ Cohérences optiques.

Termes décrivant l'effet de l'émission spontanée (voir Ref. 4)

- Très simples pour σ_{ee} et σ_{eg}

$$P_e \bar{\sigma}(e) P_e = -\Gamma \sigma_{ee}$$

L'atome quitte e avec un taux Γ

$$P_e \bar{\sigma}(e) P_g = -\frac{\Gamma}{2} \sigma_{eg}$$

les cohérences optiques sont amorties avec un taux $\Gamma/2$ (le déplacement de Lamb est inclus dans σ_A)

- Un peu plus compliqué pour σ_{gg} . Les termes correspondants décrivent l'alimentation de g à partir de e

$$P_g \bar{\sigma}(g) P_g = \Gamma \sum_{q=+1,0,-1} (\hat{d} \cdot \hat{e}_q^*) \sigma_{ee} (\hat{d} \cdot \hat{e}_q) \quad (2.36.a)$$

$$\hat{e}_{+1} = -\frac{1}{\sqrt{2}} (\hat{E}_x + i\hat{E}_y) \quad \hat{e}_0 = \hat{E}_z \quad \hat{e}_{-1} = \frac{1}{\sqrt{2}} (\hat{E}_x - i\hat{E}_y) \quad (2.36.b)$$

\hat{d} : opérateur dipole réduit, proportionnel à \vec{d} , mais sans dimensions et normalisé de la manière suivante : $\langle e_{m+q} | \hat{E}_q \cdot \hat{d}^+ | g_m \rangle$ est le coefficient de Clebsch-Gordan de la transition $g_m \rightarrow e_{m+q}$, normalisé de manière que la somme des carrés de ces coefficients partant d'un sous niveau excité unique soit égale à 1. Cette condition est équivalente à $\hat{d}^+ \cdot \hat{d}^- = P_e$

- Exemple concret : Transition $J_g = 1/2 \leftrightarrow J_e = 3/2$

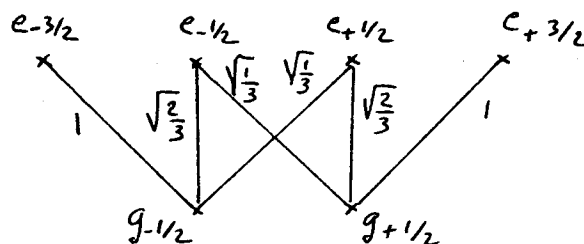


Fig. 1

$$\left(\dot{\sigma}_{g+1/2 g+1/2} \right)_{sp} = \Gamma \sigma_{e_{3/2} e_{3/2}} + \frac{2}{3} \Gamma \sigma_{e_{1/2} e_{1/2}} + \frac{1}{3} \Gamma \sigma_{e_{-1/2} e_{-1/2}} \quad (2.38.a)$$

$$\left(\dot{\sigma}_{g-1/2 g-1/2} \right)_{sp} = \Gamma \sigma_{e_{-3/2} e_{-3/2}} + \frac{2}{3} \Gamma \sigma_{e_{-1/2} e_{-1/2}} + \frac{1}{3} \Gamma \sigma_{e_{1/2} e_{1/2}} \quad (2.38.b)$$

$$\left(\dot{\sigma}_{g+1/2 g-1/2} \right)_{sp} = \Gamma \sqrt{\frac{1}{3}} \sigma_{e_{+3/2} e_{+1/2}} + \Gamma \frac{2}{3} \sigma_{e_{+1/2} e_{-1/2}} + \Gamma \sqrt{\frac{1}{3}} \sigma_{e_{-1/2} e_{-3/2}} \quad (2.38.c)$$

Le fait que l'émission spontanée ne couple pas les populations aux cohérences Zeeman et ne couple entre elles que des cohérences Zeeman de même. On est sûr à l'isotropie du vide et à l'invariance par rotations de VAL.

Équations d'évolution de cohérences optiques σ_{eg}

$$\dot{\sigma}_{eg} = \underbrace{\frac{1}{i\hbar} P_e [H_A^{\text{int}}, \sigma] P_g}_{= -i\omega_a \sigma_{eg}} + \underbrace{\frac{1}{i\hbar} P_e [VAL(\vec{r}, t), \sigma] P_g}_{= -\Gamma \sigma_{eg}/2} + \underbrace{P_e \mathcal{T}(\sigma) P_g}_{\sigma_{eg}}$$
 (2.39)

$$P_e [VAL(\vec{r}, t), \sigma] P_g = -\vec{d}^+ \cdot \vec{E}_L^+(\vec{r}) \sigma_{gg} e^{-i\omega_L t} + \sigma_{ee} \vec{d}^+ \cdot \vec{E}_L^+(\vec{r}) e^{-i\omega_L t}$$
 (2.40)

Bien que la fonction classique $\vec{E}_L^+(\vec{r})$ commute avec les opérateurs internes σ_{ee} et σ_{gg} , l'ordre entre ces 2 quantités a été conservé tel qu'il apparaît dans le calcul du commutateur. En effet, dans le paragraphe suivant, \vec{r} sera remplacé par l'opérateur \vec{R} dans $\vec{E}_L^+(\vec{r})$, et σ sera un opérateur agissant non plus seulement sur les degrés de liberté internes mais également sur les degrés de liberté externes. Les 2 opérateurs σ et $\vec{E}_L^+(\vec{R})$ ne commutent plus alors nécessairement et il faudra garder l'ordre tel qu'il apparaît dans (2.40).

Pour éliminer les $e^{-i\omega_L t}$ qui apparaissent dans (2.40), posons

$$\tilde{\sigma}_{eg} = \sigma_{eg} e^{i\omega_L t}$$
 (2.41)

On obtient alors

$$\dot{\tilde{\sigma}}_{eg} = -\left(\frac{\Gamma}{2} - i\delta\right) \tilde{\sigma}_{eg} - \frac{1}{i\hbar} \left[\vec{d}^+ \cdot \vec{E}_L^+(\vec{r}) \sigma_{gg} - \sigma_{ee} \vec{d}^+ \cdot \vec{E}_L^+(\vec{r}) \right]$$
 (2.42)

où $\delta = \omega_L - \omega_A$ est le désaccord (voir Eq. 1.6)

Équations d'évolution de σ_{ee} et σ_{gg}

Un calcul analogue donne, compte tenu de (2.35.a)

$$\dot{\sigma}_{ee} = -\Gamma \sigma_{ee} - \frac{1}{i\hbar} \left[\vec{d}^+ \cdot \vec{E}_L^+(\vec{r}) \tilde{\sigma}_{ge} - \tilde{\sigma}_{eg} \vec{d}^- \cdot \vec{E}_L^-(\vec{r}) \right]$$
 (2.43)

et

$$\dot{\sigma}_{gg} = P_g \mathcal{T}(\sigma) P_g - \frac{1}{i\hbar} \left[\vec{d}^+ \cdot \vec{E}_L^-(\vec{r}) \tilde{\sigma}_{eg} - \tilde{\sigma}_{ge} \vec{d}^- \cdot \vec{E}_L^+(\vec{r}) \right]$$
 (2.44)

b. Équations de Bloch optiques généralisées

Éléments nouveaux par rapport au paragraphe précédent.

- On quantifie les degrés de liberté externes. Les σ_{ab} avec $a, b = e, g$ sont des opérateurs à la fois internes et externes, qui ont des éléments de matrice en représentations $\{|\vec{r}\rangle\}$: $\langle \vec{r}' | \sigma_{ab} | \vec{r}'' \rangle$, en représentations $\{|\vec{p}\rangle\}$: $\langle \vec{p}' | \sigma_{ab} | \vec{p}'' \rangle$ ou en représentation de Wigner: $W_{ab}(\vec{r}, \vec{p})$.
- Le champ laser $\vec{E}_L^+(\vec{R})$ ou $\vec{E}_L^-(\vec{R})$, qui apparaît dans VAL , contient l'opérateur \vec{R} et est donc un opérateur externe. Il faut donc faire attention à l'ordre entre σ_{ab} et $\vec{E}_L^+(\vec{R})$ dans le calcul de $[VAL, \sigma]$ (voir plus haut le commentaire après (2.40)).
- Il faut garder l'hamiltonien $\vec{P}^2/2M$ dans H .
- Les termes décrivant l'émission spontanée ont la même forme (2.35) pour σ_{ee} et σ_{gg} . Pour σ_{gg} , il sont modifiés, ce qui se comprend aisément puisqu'ils doivent décrire le transfert d'impulsion de $e \rightarrow g$ quand l'atome retombe de $e \rightarrow g$ en émettant un photon de fluorescence [voir Refs. 2, 3 et 4, 5]. De telles équations sont également discutées dans les Refs. 6 et 7.

Elles s'écrivent

$$P_g S(\vec{S}) P_g = \Gamma \int \frac{d^2 K}{8\pi/3} \sum_{\vec{E} \perp \vec{K}} (\hat{d} \cdot \hat{E}^*) e^{i \vec{K} \cdot \vec{R}} \sigma_{ee} e^{i \vec{K} \cdot \vec{R}} (\hat{d}^+ \cdot \hat{E}) \quad (2.45)$$

où \hat{d}^- et \hat{d}^+ ont été déjà définis plus haut, à propos de (2.36). Dans (2.45), \vec{K} est un vecteur unitaire caractérisant la direction dans laquelle est émis un photon de fluorescence de vecteur d'onde

$$\vec{k} = \frac{w_A}{c} \hat{K} \quad (2.46)$$

avec une polarisation \hat{E} perpendiculaire à \hat{K} . Les 2 opérateurs $e^{i \vec{K} \cdot \vec{R}}$ et $e^{+i \vec{K} \cdot \vec{R}}$, qui encadrent σ_{ee} dans (2.45), font que $\langle \vec{p}'' | \sigma_{gg} | \vec{p}' \rangle$ est augmenté par émission spontanée à partir de $\langle \vec{p}'' + \vec{r} \vec{k} | \sigma_{ee} | \vec{p}' + \vec{r} \vec{k} \rangle$. On voit apparaître clairement que l'émission spontanée d'un photon \vec{k} diminue l'impulsion atomique de $\vec{r} \vec{k}$. Le fait que les transferts par émission spontanée se font à $\vec{p}' - \vec{p}''$ constant est dû à l'homogénéité de l'état vide $|0\rangle$ et à l'invariance de V_{AV} par translations.

Nouvelles équations d'évolution

$$\begin{aligned} \dot{\sigma}_{eg} &= -\left(\frac{\Gamma}{2} - i\delta\right) \tilde{\sigma}_{eg} + \frac{i}{\hbar} \left[\frac{\vec{p}^2}{2m}, \tilde{\sigma}_{eg} \right] \\ &\quad - \frac{1}{i\hbar} \left[\hat{d}^+ \cdot \vec{E}_L^+(\vec{R}) \sigma_{gg} - \sigma_{ee} \hat{d}^+ \cdot \vec{E}_L^+(\vec{R}) \right] \end{aligned} \quad (2.47)$$

$$\dot{\sigma}_{ee} = -\Gamma \sigma_{ee} + \frac{i}{\hbar} \left[\frac{\vec{p}^2}{2m}, \sigma_{ee} \right] - \frac{i}{\hbar} \left[\hat{d}^+ \cdot \vec{E}_L^+(\vec{R}) \tilde{\sigma}_{ge} - \tilde{\sigma}_{eg} \hat{d}^+ \cdot \vec{E}_L^-(\vec{R}) \right] \quad (2.48)$$

$$\dot{\sigma}_{gg} = P_g S(\vec{S}) P_g + \frac{i}{\hbar} \left[\frac{\vec{p}^2}{2m}, \sigma_{gg} \right] - \frac{i}{\hbar} \left[\hat{d}^- \cdot \vec{E}_L^-(\vec{R}) \tilde{\sigma}_{eg} - \tilde{\sigma}_{ge} \hat{d}^- \cdot \vec{E}_L^+(\vec{R}) \right] \quad (2.49)$$

Remarque

Nous mentionnons ici juste pour mémoire les équations de Bloch-Langervin obtenues en écrivant les équations de Heisenberg pour les opérateurs atomiques $|a, \vec{p}'\rangle \langle b, \vec{p}''|$ avec $a, b = g_A$ ou c_m , et en utilisant (2.16) pour exprimer l'opérateur champ qui apparaît dans V_{AV} . En choisissant l'ordre normal dans V_{AV} , on peut montrer que les termes provenant du champ source donnent naissance aux termes d'amortissement par émission spontanée étudiés plus haut, alors que les termes provenant du champ du vide donnent naissance à des forces de Langervin [voir Ref. 3, complément AV où cette démonstration est exposée dans le cas où les degrés de liberté externes sont traités classiquement]. L'intérêt des équations de Bloch-Langervin est qu'elles permettent de démontrer le théorème de régénération quantique qui explique comment calculer les fonctions de correlations atomiques (moyennes à 2 temps) à partir des équations de Bloch optiques (eventuellement généralisées) qui décrivent l'évolution des moyennes à 1 temps.

5. Nouvelles approximations adaptées aux nouveaux mécanismes

Le fait d'avoir inclus l'existence de plusieurs sous-mécanismes dans ϵ et g complexifie sensiblement les équations d'évolution de σ , et leur résolution semble beaucoup plus difficile. Il est possible néanmoins d'introduire de nouvelles approximations adaptées aux nouveaux mécanismes et de retrouver des équations simples permettant de dégager des images physiques fructueuses.

a - Faibles intensités

les nouveaux mécanismes reposent sur l'existence de temps internes qui deviennent longs à faible intensité, comme le temps de pompage optique τ_p entre sous niveaux Zeeman de g .

Le régime intéressant est donc celui des faibles intensités. On peut alors éliminer adiabatiquement les cohérences optiques δ_{gg} et l'état excité $|ee\rangle$ des équations et obtenir des équations plus simples qui ne font plus intervenir que δ_{gg} et qui sont interprétable en termes d'hamiltonien effectif associé aux déplacements lumineux et de taux de pompage optique.

De même la force moyenne peut être exprimée entièrement en fonction de δ_{gg} et des réponses réactive et dissipative de l'atome.

b - Très faibles vitesses

Les nouveaux mécanismes conduisent à des températures très basses, où les vitesses sont très faibles. La dépendance en vitesse des forces radiatives est caractérisée, non plus par le paramètre kV/Γ , comme c'est le cas pour le refroidissement Doppler, mais par les paramètres kV/Γ' ou kV/δ' , où δ' et Γ' sont l'élargissement et le déplacement de l'état fondamental sous l'effet de la lumière (à faible vitesse $\Gamma', \delta' \ll \Gamma$). Dans l'élimination adiabatique des cohérences optiques, qui sont amorties avec un taux $\Gamma/2$, on peut donc négliger l'effet de l'hamiltonien $\vec{P}^2/2M$, ce qui revient à faire un calcul à l'ordre 0 en kV/Γ .

c - De nouvelles approches

En plus des simplifications précédentes, le fait d'avoir des très faibles intensités permet d'envisager des calculs perturbatifs, par exemple des amplitudes de diffusions des photons incident par l'atome, dans lesquels on peut suivre le pas à pas, non seulement sur l'atome (comme c'est le cas quand on travaille sur la seule matrice densité atomique), mais également sur le photon incident. On peut également, dans ce cas, étudier l'importance des corrélations qui s'établissent entre l'atome et le photon. Ce point sera crucial pour comprendre les échanges d'impulsion entre atome et champs aux nœuds d'une onde stationnaire.

Références

- (1) J.P. Gordon and A. Ashkin, Phys. Rev. A 21, 1606 (1980)
- (2) J. Dalibard and C. Cohen-Tannoudji, J. Phys. B 18, 1661 (1985)
- (3) Processus d'interaction entre photons et atomes - Référence (2) du cours I
- (4) C. Cohen-Tannoudji in Les Houches XXVII, 1975 - Frontiers in Laser Spectroscopy, R. Balian, S. Haroche and S. Liberman eds (North Holland, 1977)
- (5) S. Stenholm, Appl. Phys. 15, 287 (1978)
- (6) Y. Castin, H. Wallis and J. Dalibard, J.O.S.A. B 6, 2046 (1989)
- (7) A. Aspect, E. Arimondo, R. Kaiser, N. Van Kampen and C. Cohen-Tannoudji, J.O.S.A. B 6, 2112 (1989)

Appendice : Exemple simple de calcul de coefficient de diffusion (II-9)
Atome à 2 niveaux à un nœud d'une onde stationnaire

Notations

$$\vec{E}_L(x,t) = \vec{e}_3 E_0 \sin k_L x \cos \omega_L t \quad (2.50)$$

$$\hat{d} = \vec{e}_3 d (\hat{d}^+ + \hat{d}^-) \quad \hat{d}^+ = |e\rangle \langle g| \quad \hat{d}^- = |g\rangle \langle e| \quad (2.51)$$

d : élément de matrice du dipôle qui a la même polarisation, \vec{e}_3 , que celle de l'onde stationnaire laser.

$$E_{Li}^+(x) = \delta_{i3} \frac{1}{2} E_0 \sin k_L x = E_{Li}^-(x) \quad (2.52)$$

$$\text{On pose } d E_0 = \hbar \omega_L, \quad (2.53)$$

ω_L est la fréquence de Rabi aux vertes

$$\Delta = \frac{\omega_L^2 / 2}{\delta^2 + \frac{\Gamma^2}{4}} \quad (2.54)$$

δ est le paramètre de saturation aux vertes. $\delta = 4 s_0$ où s_0 est le paramètre de saturation associé à chacune des 2 ondes planes progressives formant l'onde stationnaire.

Calcul de Dvide et Dlaser

- Au voisinage d'un nœud, on peut négliger la fluorescence $\rightarrow D_{\text{vide}} \approx 0$
- D'après (2.52), au voisinage d'un nœud, par exemple en $x=0$

$$\vec{\nabla} E_{Li}^\pm = \delta_{i3} \frac{1}{2} k_L E_0 \vec{e}_x \quad (2.55)$$

Si l'on reporte (2.55) dans (2.25), on obtient, compte tenu de (2.51) et (2.53),

$$\langle \delta F_{\text{laser}}(t) \cdot \delta F_{\text{laser}}(t-\tau) \rangle = \hbar^2 k_L^2 \left(\frac{\omega_L}{2}\right)^2 \left[\langle \delta \hat{d}^-(t) \delta \hat{d}^+(t-\tau) e^{i\omega_L \tau} + \langle \delta \hat{d}^+(t) \delta \hat{d}^-(t-\tau) \rangle e^{-i\omega_L \tau} \rangle \right] \quad (2.56)$$

- Calcul des fonctions de correlations du dipôle atomique

D'après le théorème de régression quantique, pour $t > t'$, $\langle \delta \hat{d}^-(t) \delta \hat{d}^+(t') \rangle$ obéit à une équation analogue à celle de $\langle \delta \hat{d}^-(t) \rangle$. Or $\langle \hat{d}^- \rangle = \sigma_{eg}$ et au voisinage d'un nœud, où $\vec{E}_L = \vec{0}$, $\dot{\sigma}_{eg} = -(i\omega_A + \frac{\Gamma}{2}) \sigma_{eg}$. Donc

$$\frac{d}{dt} \langle \delta \hat{d}^-(t) \delta \hat{d}^+(t') \rangle = -\left(i\omega_A + \frac{\Gamma}{2}\right) \langle \delta \hat{d}^-(t) \delta \hat{d}^+(t') \rangle \quad (2.57)$$

On en déduit que, pour $x \approx 0$ et $t > t'$

$$\langle \delta \hat{d}^-(t) \delta \hat{d}^+(t') \rangle = e^{-i\omega_A \tau} e^{-\frac{\Gamma}{2} \tau} \underbrace{\langle \delta \hat{d}^-(t') \delta \hat{d}^+(t') \rangle}_{= \sigma_{gg}(t')} = e^{-i\omega_A \tau} e^{-\frac{\Gamma}{2} \tau} \quad (2.58)$$

puisque, à un nœud où $\vec{E}_L = \vec{0}$, $\sigma_{gg} = 1$ et $\langle d^+ \rangle = 0$. Un calcul analogue donne

$$\langle \delta \hat{d}^+(t) \delta \hat{d}^-(t-\tau) \rangle = 0 \quad (2.59)$$

(en effet, cette fonction de corrélation est proportionnelle à $\langle \sigma_{ee}(t-\tau) - \langle d^-(t-\tau) \rangle \rangle^2$ qui est nul à un nœud)

- Finalement, pour $\tau > 0$ et $x \approx 0$

$$\langle \delta F_{\text{laser}}(t) \cdot \delta F_{\text{laser}}(t-\tau) \rangle = \hbar^2 k_L^2 \left(\frac{\omega_L}{2}\right)^2 e^{+i(\omega_L - \omega_A)\tau} e^{-\frac{\Gamma}{2} \tau} \quad (2.60)$$

- Reportons alors (2.60) dans (2.31). Il vient

$$\begin{aligned} D_{\text{laser}} &= \hbar^2 k_L^2 \left(\frac{\omega_L}{2}\right)^2 \operatorname{Re} \int_0^\infty dt e^{i\delta\tau} e^{-\frac{\Gamma}{2}\tau} = \hbar^2 k_L^2 \Gamma \frac{\omega_L^2 / 8}{\delta^2 + \frac{\Gamma^2}{4}} \\ &= \hbar^2 k_L^2 \Gamma \frac{\Delta}{4} = \hbar^2 k_L^2 \Gamma s_0 \end{aligned} \quad (2.61)$$

qui est aussi le coefficient de diffusion global puisque en $x=0$, $D_{\text{vide}}=0$.

- Résultat intriguant : En $x=0$, il n'y a pas d'absorption de lumière et pourtant l'impulsion de l'atome fluctue puisque $D \neq 0$!